

3次元任意物体のま  
わりのまわり流れ

東大 生研 戒瀬文雄

§1. あらまし

一様なまわり流れのなかに3次元の任意の形の物体がある  
とします。いま Navier-Stokes 方程式を基礎方程式として、  
物体のまわりの流れを matched asymptotic expansion 法によ  
る Reynolds 数 ( $Re$ ) 展開によって解析する。*Chester*<sup>1)</sup> は  
(i) 物体の形として、流れの方向を逆にしたとき物体に働く  
力を逆転するような物体であること、(ii) この物体のまわりの  
流れの Stokes 近似の解が既知であることを仮定して、物体  
に働く力を  $O(Re)$  の項まで求め、かつ  $O(Re)$  までは Oseen  
近似によって得られた解と一致することを示した。

本研究では、*Chester* のときと同じように、(i), (ii) の仮定  
をするとき、物体に働く力が Stokes 近似のときの力の表示  
のみを用いて、 $O(Re^2 \log Re)$  まで決定されることを示す。

## §2. matched asymptotic expansion 法による解

いまつきのように無次元変数を定義しよう。

$$\bar{q}_b = \frac{q_b^*}{U}, \quad \bar{\pi} = \frac{\pi^*}{\ell}, \quad \bar{P} = P^* \ell / \mu, \quad Re = \ell D P / \mu, \quad (1)$$

ここで  $P$  は密度、  $q_b^*$  は速度ベクトル、  $\pi^*$  は位置ベクトル、  $P^*$  は圧力、  $\mu$  は粘性率、  $U$  は一様流の速度、  $\ell$  は物体の代表的長さとする。このとき物体のまわりの縮むない流れの場を支配する Navier-Stokes 方程式は

$$\nabla \cdot \bar{q}_b - \nabla \cdot \bar{P} = Re \bar{q}_b \cdot \nabla \bar{q}_b, \quad \nabla \cdot \bar{q}_b = 0 \quad (2)$$

である。ここで  $\nabla$ 、  $\nabla$  は  $\pi$  (直角座標  $x, y, z$ ) を用いたときの Laplacian および gradient である。いま一様流の方向を  $\hat{n}$  とし、物体の形は  $F = f(\theta, \varphi)$  で表されるとするとき、境界条件は

$$\bar{r} \rightarrow \infty : \quad \bar{q}_b \rightarrow \hat{n}, \quad \bar{P} \rightarrow \bar{P}_{\infty}; \quad F = f(\theta, \varphi) : \quad \bar{q}_b = 0 \quad (3)$$

となる。

matched asymptotic expansion 法でこの問題をとくためには、球のまわりの流れを解析した Proudman & Pearson<sup>2)</sup>の場合と同じように、物体外の領域を 2つにわけ、 $\bar{F} \sim O(1)$  の領域を内部領域、 $\bar{F} \sim O(1/Re)$  の領域を外部領域にわけ、

$$IR = \bar{r}, \quad IR = Re \bar{r} \quad (4)$$

でこれで内部変数  $IR$  (直角座標  $X, Y, Z$ ) および外部変数  $r$  (直角座標  $x, y, z$ ) を定義する。3 次元任意物体のまわり

リの流れでは、流れの周散を用ひることができないのと、速度ベクトル  $\bar{v}$ 、圧力  $\bar{P}$  を内部領域では

$$\left. \begin{aligned} \bar{v} &= Q_1(R) + R_e Q_2(R) + R_e^2 Q_3(R) + \dots \\ \bar{P} &= P_1(R) + R_e P_2(R) + R_e^2 P_3(R) + \dots \end{aligned} \right\} \quad (5)$$

のように Stokes 的展開で、また外部領域では

$$\left. \begin{aligned} \bar{v} &= \bar{v}_\infty + R_e \bar{v}_2(R) + R_e^2 \bar{v}_3(R) + \dots \\ \bar{P} &= \bar{P}_\infty + R_e^2 \bar{P}_2(R) + R_e^3 \bar{P}_3(R) + \dots \end{aligned} \right\} \quad (6)$$

のように Oseen 的展開とする。

(i) 内部解の第1近似

$Q_1, P_1$  に対する方程式および物体上の境界条件は、(5)を (2), (3) に代入して、 $\rightarrow \infty$  のほうになる。

$$\Delta Q_1 - \nabla P_1 = 0, \quad \nabla \cdot Q_1 = 0 \quad (7)$$

$$R = f(\theta, \varphi); \quad Q_1 = 0 \quad (8)$$

$\therefore \Delta, \nabla$  は  $IR(X, Y, Z)$  を用いたときの Laplacian および gradient である。  $R \rightarrow \infty$  の境界条件は (5), (6) を用いて外部解と内部解との matching を考えて、

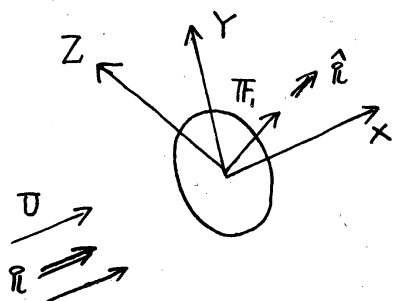
$$R \rightarrow \infty : \quad Q_1 \rightarrow \bar{v}, \quad P_1 \rightarrow \bar{P}_\infty \quad (9)$$

とする。

方程式 (7) は Stokes の方程式である。境界条件 (8), (9) のまゝに (7) の解が分つてりとする。このとき  $R \rightarrow \infty$  の  $\mathbf{Q}_1, \mathbf{P}_1$  の式をより詳しく物体に働く力  $\overline{\mathbf{F}}_1$  はつきのように表示されることが知られてる。<sup>3), 4)</sup>

$$\begin{aligned} R \rightarrow \infty : \quad \mathbf{Q}_1 &\rightarrow \hat{\mathbf{u}} - A \left( \frac{\hat{\mathbf{u}}}{R} + \frac{\hat{\mathbf{x}}/R}{R^3} \right) + O(R^{-2}) \\ \mathbf{P}_1 &\rightarrow \overline{\mathbf{P}}_\infty - 2A \left( \frac{\hat{\mathbf{x}}}{R^3} \right) + O(R^{-4}) \end{aligned} \quad \left. \right\} \quad (10)$$

$$\overline{\mathbf{F}}_1 = 8\pi\mu U \ell A \hat{\mathbf{u}} \quad (11)$$



ここで  $\hat{\mathbf{u}}$  は  $\overline{\mathbf{F}}_1$  の方向の単位ベクトルで、 $\hat{\mathbf{u}}, \hat{\mathbf{x}}, \hat{\mathbf{y}}$  はそれぞれ

$$\hat{\mathbf{u}} = l \mathbf{i} + m \mathbf{j} + n \mathbf{k} \quad (12)$$

$$\hat{\mathbf{x}} = l \mathbf{x} + m \mathbf{y} + n \mathbf{z} \quad (13)$$

をみたすとする。また  $\mathbf{i}, \mathbf{j}, \mathbf{k}$  は  $X, Y, Z$  軸方向の単位ベクトルである（図 1 参照）。いまとくに物体の形が「流れの方向を逆転したときに、働く力の方向も逆転するような形」となつてゐるときには、(10) の代りに

$$\begin{aligned} R \rightarrow \infty : \quad \mathbf{Q}_1 &\rightarrow \hat{\mathbf{u}} - A \left( \frac{\hat{\mathbf{u}}}{R} + \frac{\hat{\mathbf{x}}/R}{R^3} \right) + O(R^{-3}) \\ \mathbf{P}_1 &\rightarrow \overline{\mathbf{P}}_\infty - 2A \left( \frac{\hat{\mathbf{x}}}{R^3} \right) + O(R^{-4}) \end{aligned} \quad \left. \right\} \quad (14)$$

で表示できることを示すことができる。以下の研究で内部解

の第3近似を計算するときには、この形を用ひることは必要に有つてくる。

### (ii) 外部解の第2近似

外部解の第2近似  $\mathbf{q}_2, \mathbf{p}_2$  に対する方程式および  $r \rightarrow \infty$  の境界条件は、(6) 及び (2), (3) に代入して

$$\Delta \mathbf{q}_2 - \nabla \cdot \mathbf{p}_2 - \frac{\partial \mathbf{q}_2}{\partial r} = 0, \quad \nabla \cdot \mathbf{q}_2 = 0 \quad (15)$$

$$r \rightarrow \infty : \quad \mathbf{q}_2 \rightarrow 0, \quad \mathbf{p}_2 \rightarrow 0 \quad (16)$$

のように得られる。ここで  $\Delta$  および  $\nabla$  は  $\mathbf{r}(x, y, z)$  を用いたときの Laplacian および gradient である。方程式 (15) に対する補足境界条件は、(5), (6), (11) を参考にし、外部解と内部解の matching を考えて、つきのようく決定される。

$$\begin{aligned} r \rightarrow 0 : \quad \mathbf{q}_2 &\rightarrow -A \left( \frac{\hat{x}}{r} + \frac{\hat{y} \mathbf{r}}{r^3} \right) \\ &= -A \left[ l \left( \frac{\hat{x}}{r} + \frac{\hat{y} \mathbf{r}}{r^3} \right) + m \left( \frac{\hat{y}}{r} + \frac{\hat{z} \mathbf{r}}{r^3} \right) + n \left( \frac{\hat{z}}{r} + \frac{\hat{x} \mathbf{r}}{r^3} \right) \right] \end{aligned} \quad (17)$$

方程式 (15) は Oseen 方程式であり、(16), (17) を満たす (15) の解は、Oseen 方程式の 3 つの基本解  $\mathbf{q}_{b01}, \mathbf{p}_{01}, \mathbf{q}_{b02}, \mathbf{p}_{02}, \mathbf{q}_{b03}, \mathbf{p}_{03}$  たりつての和に構成される。

$$\left. \begin{aligned} \mathbf{q}_2 &= -A (l \mathbf{q}_{b01} + m \mathbf{q}_{b02} + n \mathbf{q}_{b03}), \\ \mathbf{p}_2 &= -A (l \mathbf{p}_{01} + m \mathbf{p}_{02} + n \mathbf{p}_{03}) \end{aligned} \right\} \quad (18)$$

∴ " "

$$\left. \begin{aligned} q_{01} &= \nabla \left( \frac{1}{r} - \frac{e^{-\frac{1}{2}(r-x)}}{r} \right) + \frac{e^{-\frac{1}{2}(r-x)}}{r} l, \quad p_{01} = -\frac{\partial}{\partial x} \left( \frac{1}{r} \right) \\ q_{02} &= \nabla \left[ \left( e^{-\frac{1}{2}(r-x)} - 1 \right) \frac{y}{r(r-x)} \right] + \frac{e^{-\frac{1}{2}(r-x)}}{r} j, \quad p_{02} = -\frac{\partial}{\partial y} \left( \frac{1}{r} \right) \\ q_{03} &= \nabla \left[ \left( e^{-\frac{1}{2}(r-x)} - 1 \right) \frac{z}{r(r-x)} \right] + \frac{e^{-\frac{1}{2}(r-x)}}{r} k, \quad p_{03} = -\frac{\partial}{\partial z} \left( \frac{1}{r} \right) \end{aligned} \right\} \quad (19)$$

である。 " " さらに内部解の第2近似へとすすむためには、  
 $r \rightarrow 0$  の  $q_2, P_2$  の 3 つをまつて知る必要がある。これは (18)、  
(19) を用ひるとき

$r \rightarrow 0$  :

$$\begin{aligned} q_2 &\rightarrow -A \left( \frac{\hat{x}}{r} + \frac{\hat{x}lr}{r^3} \right) + A \left( \frac{1}{2} l \hat{x} + \frac{3}{4} m j + \frac{3}{4} n k \right) \\ &\quad + A \left( -\frac{3}{4} \frac{x}{r} \hat{x} + \frac{\hat{x}}{4r} l + \frac{l}{4} \frac{lr}{r} - \frac{x \hat{x} lr}{4r^3} \right) + O(r), \end{aligned} \quad (20)$$

$$P_2 \rightarrow -2A \frac{\hat{x}}{r^3}, \quad (21)$$

のように行はれる。

### (iii) 内部解の第2近似

内部解の第2近似  $Q_2, P_2$  に対する方程式および物体上での  
境界条件は、(5) を (2), (3) に代入して

$$\Delta Q_2 - \nabla P_2 = Q_1 \cdot \nabla Q_1, \quad \nabla \cdot Q_2 = 0 \quad (22)$$

$$R = f(\theta, \varphi) : Q_2 = 0 \quad (23)$$

のようになる。 $R \rightarrow \infty$  の境界条件は、(5), (6), (20), (21)  
を用ひ、外部解と内部解との matching を行つて

$R \rightarrow \infty$ :

$$\left. \begin{aligned} Q_2 &\Rightarrow \frac{1}{2} l A i + \frac{3}{4} m A j + \frac{3}{4} n A k \\ &+ A \left( -\frac{3}{4} \frac{x}{R} \hat{i} + \frac{\hat{x}}{4R} \hat{i} + \frac{lIR}{4R} - \frac{x\hat{x}IR}{4R^3} \right) \end{aligned} \right\} (24)$$

$P_2 \rightarrow 0$

とすると、 $i = \hat{i}$ 

$$Q_2 = Q_{21} + Q_{22}, \quad P_2 = P_{21} + P_{22} \quad (25)$$

とかいて、(22) ~ (24) をつぎのように分解しよう。

$$\Delta Q_{21} - \nabla P_{21} = Q_1; \quad \nabla \cdot Q_{21} = 0 \quad (26)$$

$$R = f(\theta, \varphi); \quad Q_{21} = 0$$

$$\left. \begin{aligned} R \rightarrow \infty: \quad Q_{21} &\rightarrow A \left( -\frac{3x}{4R} \hat{i} + \frac{\hat{x}}{4R} \hat{i} + \frac{lIR}{4R} - \frac{x\hat{x}IR}{4R^3} \right) \\ P_{21} &\rightarrow 0 \end{aligned} \right\} (27)$$

$$\Delta Q_{22} - \nabla P_{22} = 0, \quad \nabla \cdot Q_{22} = 0 \quad (28)$$

$$R = f(\theta, \varphi); \quad Q_{22} = 0$$

$$\left. \begin{aligned} R \rightarrow \infty: \quad Q_{22} &\rightarrow \frac{1}{2} l A i + \frac{3}{4} m A j + \frac{3}{4} n A k \\ P_{22} &\rightarrow 0 \end{aligned} \right\} (29)$$

このように分解すると、方程式および境界条件の性質を調べるによって、 $Q_{21}, P_{21}$  は流れの方向を逆転しても全然変化しない部分、 $Q_{22}, P_{22}$  は流れの方向を逆転したとき逆転する部分となつてゐることがわかる。

3次元任意物体に働く力は、(26) ~ (29) よりも

つて決定されるが、一般論でこれ以上すすめることはむづかしい。ここで物体の形に制限を加え、 $\overline{F}$ 流れの方向を逆にしたとき、物体に働く力を逆転するような物体 $\square$ を考へることにする。ここでこのように物体に働く力の第2近似を考へよう。このとき  $Q_{21}, P_{21}$  オリ誘起される流れはこの力には寄与しないから、 $Q_{22}, P_{22}$  からの影響についてのみ考へればよい。

いま速度  $U_f$ 、圧力  $P_\infty$  および速度  $U_{f2}$ 、圧力  $P_{\infty}$  の一様流中にこの物体があかれたときの Stokes 方程式の解もまた既知であるとし、このときの速度、圧力、物体に働く力をこれぞ  $Q'_1, P'_1, \overline{F}'_1$  および  $Q''_1, P''_1, \overline{F}''_1$  とする。方程式(28)は Stokes 方程式であるから、(28), (29) をみたす解は

$$\left. \begin{aligned} Q_{22} &= \frac{1}{2} l A Q_1 + \frac{3}{4} m A Q'_1 + \frac{3}{4} n A Q''_1 \\ P_{22} &= \frac{1}{2} l A (P_1 - P_\infty) + \frac{3}{4} m A (P'_1 - P_\infty) + \frac{3}{4} n A (P''_1 - P_\infty) \end{aligned} \right\} (30)$$

となり、またこの流れによつて誘起される物体に働く力  $\overline{F}_2$  は

$$\overline{F}_2 = \frac{1}{2} l A \overline{F}'_1 + \frac{3}{4} m A \overline{F}''_1 + \frac{3}{4} n A \overline{F}'''_1 \quad (31)$$

で与えられる。

#### (iv) 内部解の第3近似について

内部解の第3近似  $Q_3, P_3$  に対する方程式は、(5) と (2) を代入して、

$$\Delta Q_3 - \nabla P_3 = Q_1 \cdot \nabla Q_2 + Q_2 \cdot \nabla Q_1, \quad \nabla \cdot Q_3 = 0 \quad (32)$$

である。ここで  $Q_3$  を再び

$$Q_3 = Q_{31} + Q_{32}, \quad P_3 = P_{31} + P_{32} \quad (33)$$

のとくがりて、 $Q_{31}, P_{31}$  は一様流の方向を逆転したとき全然変化しない部分、 $Q_{32}, P_{32}$  は一様流の方向を逆転してとき逆転する部分とする。内部解の第2近似の場合と同じように、

$Q_{31}, P_{31}$  による流れは物体に働く力としては寄りしない。そこで  $Q_{32}, P_{32}$  により誘起される流れについて考えて見よう。

$Q_{32}, P_{32}$  に対する方程式は、 $Q_{21}, P_{21}$  や  $Q_{22}, P_{22}$  の対称性を考慮して、つきのようににする。

$$\Delta Q_{32} - \nabla P_{32} = Q_1 \cdot \nabla Q_{21} + Q_{21} \cdot \nabla Q_1, \quad \nabla \cdot Q_{32} = 0 \quad (34)$$

いま  $R \rightarrow \infty$  での  $Q_{32}$  の漸近展開形を  $O(1)$  で調べて見よう。そのためには  $R \rightarrow \infty$  での  $Q_{21}$  の漸近展開形を  $O(1/R)$  まで正確に求めておく必要がある。

方程式 (26) の右辺に (14) を代入し、(26) を満たす特解を容易に求めることができる。その結果は

$R \rightarrow \infty$ :

$$\begin{aligned} Q_{21} &\rightarrow A \left[ -\frac{3}{4} \frac{\hat{X}}{R} \hat{i} + \frac{1}{4} \frac{\hat{X}}{R} \hat{k} + \frac{\ell R}{4R} - \frac{1}{4} \frac{\hat{X} \hat{X} R}{R^3} \right] \\ &+ A^2 \left[ \frac{\hat{X}}{2R^2} \hat{i} - \frac{1R}{2R^2} + \frac{\hat{X}^2 R}{R^4} \right] + O\left(\frac{1}{R^2}\right) \end{aligned} \quad (35)$$

のようになる。(27) が  $\nabla \cdot Q_3 = 0$  の解となり、(35) の他に

$O(1/R)$  の項 : 3 は (26) の齊次方程式 (すなはち Stokes の方程式) の解が加わってより。しかし Stokes の方程式の解で  $O(1/R)$  の項は一様流を逆転するとき、逆転する性質を持つから  $Q_{21}$  に加わることはない。したがって (35) の  $Q_{21}$  は (27) で  $\neq$  で  $\neq$  (26) の解となり  $O(1/R)$  までの正しい展開形を持つことになる。

方程式 (35) と (34) の右辺に代入して、(34) で  $\neq$  で  $\neq$   $Q_{32}$  の特解は

$R \rightarrow \infty$ :

$$\begin{aligned} Q_{32} \rightarrow & A \left[ \left( \frac{\ell}{12} \hat{R} - \frac{5}{24} \hat{R}^2 \right) R + \frac{1}{24} \frac{\hat{X} R}{R} + \frac{1}{12} \frac{X \hat{X}}{R} \hat{R} + \frac{\ell}{12} \frac{X}{R} IR \right. \\ & \left. - \frac{5}{24} \frac{X^2}{R} \hat{R} - \frac{1}{24} \frac{X^2 \hat{X}}{R^3} IR \right] + A^2 \left[ \left( \frac{31}{60} \ell \hat{R} - \frac{7}{60} \hat{R} \right) \log R \right. \\ & \left. - \frac{3}{40} \frac{\hat{X}^2}{R^2} \hat{R} - \frac{2}{5} \frac{\ell \hat{X}}{R^2} IR - \frac{19}{120} \frac{X}{R^2} IR + \frac{13}{30} \frac{X \hat{X}}{R^2} \hat{R} + \frac{43}{120} \frac{\hat{X}^2 X}{R^4} IR \right] \\ & + O\left(\frac{1}{R}\right) \end{aligned} \quad (36)$$

の形を持つ。左辺この解は (34) 式の齊次方程式 (Stokes 方程式) の解が加わってより。いま

$$A^2 \left( \frac{31}{60} \ell \hat{R} - \frac{7}{60} \hat{R} \right) \log R \quad (37)$$

の項に注目しよう。 $(34)$  の齊次方程式の解には (37) の  $\neq$  な形の解は存在しないから、(34) の齊次方程式の解で (36) で  $\neq$

け加えたとしても、この項に影響を及ぼすことはない。したがってこの項は  $R \rightarrow \infty$  の  $Q_{32}$  の正しい漸近展開形のなかに存在する。 $\therefore (37)$  の項の matching について考えて見よう。 $(37)$  式に  $R = r/R_e$  を代入して、かつ  $Q_3$  が  $O(R_e^2)^2$  あることを考えるとき、

$$-A^2 \left( \frac{31}{60} l \hat{\alpha} - \frac{7}{60} l \right) R_e^2 \log R_e \quad (38)$$

が、(i) 外部解の  $r \rightarrow 0$  の展開のなかに存在するか、または(ii) 内部解の  $R \rightarrow \infty$  の展開のなかにこれを打ち消す項が存在するか、どちらかでなければならぬ。 (i) のばあいについては Proudman & Pearson<sup>2)</sup> が球のはあいに示した理由と同じ理由で、この可能性はなしと思われる。したがって (ii) の場合でなければならぬ。このためには内部展開は (5) のように

$$\begin{aligned} \bar{\theta} &= Q_1 + R_e Q_2 + R_e^2 \log R_e Q_2 + R_e^2 Q_3 + \dots \\ \bar{P} &= P_1 + R_e P_2 + R_e^2 \log R_e P_2 + R_e^2 P_3 + \dots \end{aligned} \quad \left. \right\} \quad (39)$$

のように展開されねばならぬ。

(39) を (2), (3) に代入し、かつ  $Q_e$  が共通領域で (38) を打ち消すことを考えると、 $Q_e, P_e$  に対する方程式および境界条件は

$$\Delta Q_e - \nabla \cdot P_e = 0, \quad \nabla \cdot Q_e = 0 \quad (40)$$

$$R = f(10, \varphi) : Q_e = 0 \quad (41)$$

$$R \rightarrow \infty : Q_e \rightarrow \left( \frac{31}{60} l^2 - \frac{7}{60} R \right) A^2, P_e \rightarrow 0 \quad (42)$$

ゆえに  $\omega$  の式は Stokes 方程式であるから、

(41), (42) を解く

$$Q_e = \left( \frac{31}{60} l^2 - \frac{7}{60} \right) A^2 Q_1 + \frac{31}{60} l m A^2 Q_1' + \frac{31}{60} l n A^2 Q_1'' \quad (43)$$

$$P_e = \left( \frac{31}{60} l^2 - \frac{7}{60} \right) A^2 (P_i - \bar{P}_\infty) + \frac{31}{60} l m A^2 (P_i' - \bar{P}_\infty) + \frac{31}{60} l n A^2 (P_i'' - \bar{P}_\infty)$$

となり、また  $Q_e, P_e$  は物体に誘起された力  $\bar{F}_e$  は

$$\bar{F}_e = \left( \frac{31}{60} l^2 - \frac{7}{60} \right) A^2 \bar{F}_i + \frac{31}{60} l m A^2 \bar{F}_i' + \frac{31}{60} l n A^2 \bar{F}_i'' \quad (44)$$

で表示される。いま  $\bar{F}_i \rightarrow (X, Y, Z)$  成分を  $(F_{ix}, F_{iy}, F_{iz})$

とすると

$$l = \frac{F_{ix}}{F_i}, m = \frac{F_{iy}}{F_i}, n = \frac{F_{iz}}{F_i}, A = \frac{F_i}{8\pi\mu D l} \quad (45)$$

であるから、(11), (31), (44), (45) を用いて、物体に

働く力  $\bar{F}$  は

$$\begin{aligned} \bar{F} &= \bar{F}_i + \frac{R_e}{8\pi\mu D l} \left( \frac{1}{2} F_{ix} \bar{F}_i + \frac{3}{4} F_{iy} \bar{F}_i' + \frac{3}{4} F_{iz} \bar{F}_i'' \right) \\ &+ \frac{R_e^2 \log Re}{(8\pi\mu D l)^2} \left[ \left( \frac{31}{60} F_{ix}^2 - \frac{7}{60} F_i^2 \right) \bar{F}_i + \frac{31}{60} F_{ix} F_{iy} \bar{F}_i' \right. \\ &\left. + \frac{31}{60} F_{ix} F_{iz} \bar{F}_i'' \right] + O(R_e^2) \end{aligned} \quad (46)$$

のようになると。

いま物体は橢円体のように、前後、左右、上下対称であるといい、中心を原点にとり、3つの対称軸の方向を  $(x_1, x_2, x_3)$  とする。また  $x_i$  軸方向の速度  $U$  の一様流中にこの物体がおかれるとその抵抗を  $D_i$  とする。いま尼と  $x_i$  軸との方向余弦を  $l_i$  とするとき、(46) は  $D_i$  を用いて、つきのようになされる。

$$\begin{aligned} \bar{F} = & \sum_{i=1}^3 l_i D_i \left[ 1 + \frac{R_e}{8\pi\mu Ul} \left( \frac{3}{4} D_i - \frac{1}{4} \sum_{j=1}^3 l_j^2 D_j \right) \right. \\ & \left. + \frac{R_e^2 \log R_e}{(8\pi\mu Ul)^2} \sum_{j=1}^3 l_j^2 D_j \left( \frac{31}{60} D_i - \frac{7}{60} D_j \right) + O(R_e^2) \right] \quad (47) \end{aligned}$$

以下において (47) を用いて、2, 3 の例について  $\bar{F}$  を求めることとする。

例 1. 圓 (半径  $a^*$ )

$$l = a^* = c_3, \quad l_1 = 1, \quad l_2 = l_3 = 0 \quad \text{となり}.$$

$$D_1 = 6\pi\mu Ul a^* \quad \text{であるから}, \quad (47) \text{より}$$

$$\bar{F} = 6\pi\mu Ul a^* \left\{ 1 + \frac{3}{8} R_e + \frac{9}{40} R_e^2 \log R_e + O(R_e^2) \right\} \quad (48)$$

が得られる。これは Proudman & Pearson<sup>2)</sup> 及び Kaplan & Lagerstrom<sup>5)</sup> の結果と一致する。

例 2. 偏平回転橢円体 (半短軸  $a^*$ , 半長軸  $b^* = c^*$ )

$$l = b^* = c^* \quad \text{となるとき}, \quad D_1, D_2, D_3 \quad \text{は}$$

$$D_1 = \frac{8\pi\mu D(b^{*2} - a^{*2})}{a^* + \frac{b^{*2} - 2a^{*2}}{\sqrt{b^{*2} - a^{*2}}} \cot^{-1} \frac{a^*}{\sqrt{b^{*2} - a^{*2}}}} \quad (49)$$

$$D_2 = D_3 = \frac{16\pi\mu D(b^{*2} - a^{*2})}{\frac{3b^{*2} - 2a^{*2}}{\sqrt{b^{*2} - a^{*2}}} \cot^{-1} \frac{a^*}{\sqrt{b^{*2} - a^{*2}}} - a^*} \quad (50)$$

で代入され、これを(47)式に代入すればTFが得られる。

π方向がx, 方向と一致するとき、すなわち  $\ell_1 = 1, \ell_2 = \ell_3 = 0$  のときは Breach<sup>6)</sup> の結果と一致する。左側に内板のときは  $a^* = 0$  とかつて

$$D_1 = 16\mu D b^*, \quad D_2 = D_3 = \frac{32}{3}\mu D b^* \quad (51)$$

を代入すればよい。

例3. 偏長回転椭円体(半長軸  $a^*$ , 半短軸  $b^* = c^*$ )

$\ell = b^* = c^*$  とかくとき、 $D_1, D_2, D_3$  は

$$D_1 = \frac{8\pi\mu D(a^{*2} - b^{*2})}{\frac{(2a^{*2} - b^{*2})}{\sqrt{a^{*2} - b^{*2}}} \coth^{-1} \frac{a^*}{\sqrt{a^{*2} - b^{*2}}} - a^*} \quad (52)$$

$$D_2 = D_3 = \frac{16\pi\mu D(a^{*2} - b^{*2})}{a^* + \frac{2a^{*2} - 3b^{*2}}{\sqrt{a^{*2} - b^{*2}}} \coth^{-1} \frac{a^*}{\sqrt{a^{*2} - b^{*2}}}} \quad (53)$$

を(47)式に代入すればよい。またπ方向がx, 方向と一致す

さて、するやう  $\ell_1 = 1, \ell_2 = \ell_3 = 0$  のときは、Breach<sup>6)</sup> の結果と一致する。

例 4. 楕円体 ( $x_i$  方向の半軸の長さ  $a_i^*$ )

適当な代表的長さを  $\ell$  とし、 $a_j^*/\ell = a_j$  とするとき、

$D_i$  は

$$D_i = \frac{16\pi\mu D\ell}{x_i + \alpha_i}, \quad \left. \begin{aligned} x_i &= \int_0^\infty \frac{d\lambda}{\frac{3}{\pi} (a_j^2 + \lambda)^{\frac{1}{2}}}, \\ \alpha_i &= \int_0^\infty \frac{a_i^2 d\lambda}{(a_i^2 + \lambda) \frac{3}{\pi} (a_j^2 + \lambda)^{\frac{1}{2}}} \end{aligned} \right\} \quad (47)$$

$(i = 1, 2, 3)$

のようにえますから、これを (47) 式に代入すればよい。

### § 3. むすび

3次元物体の形として、流れの方向を逆転するとき物体に働く力を逆転するような形であること、およびこの物体があるいは一様流中にあかれたときの Stokes 近似の解が既知であることを仮定する。このような3次元任意物体が一様なあるいは流れのまかにあかれたときの流れの解析を、Navier - Stokes の方程式を基礎方程式として、matched asymptotic expansion によく  $Re$  数展開の形で行い、物体に働く力を  $O(Re^2 \log Re)$  まで、Stokes 近似による力の表示の式を用いて表した。物体に働く力として  $O(Re)$  までには、Oseen 方程式

以上の結果と一緒にすれば、 $O(R_e^2 \log R_e)$  の項は Navier-Stokes 方程式の非線型効果を表わしていふ項として注目されるべきであると思われる。また  $O(R_e^2)$  を含むより高い order までの結果を得るためには、Stokes 近似による力の表示だけでは表わし得ないと思われる。

### 参考文献

1. W. Chester : J. Fluid Mech. 13 (1962), 557
2. I. Proudman & J.R.A. Pearson : J. Fluid Mech. 2 (1957), 237
3. I. Imai : The Second International JSME Symposium Fluid Machinery and Fluidics, Tokyo, Sept. 1972, 2, 15
4. J. Happel & H. Brenner : Low Reynolds Number Hydrodynamics (Noordhoff, Leyden, 1973), P289
5. S. Kaplan & P. Lagerstrom : J. Math. Mech. 6 (1957) 585
6. D.R. Breach : J. Fluid Mech. 10 (1961), 306